

DOI: <http://dx.doi.org/10.21123/bsj.2016.13.2.0273>

تحقيقات في السلوك المميز للنمط الخطي لموجات الايون الصوتية الكمية

مصطفى كامل جاسم **

رفل هشام جاسم *

*قسم الفيزياء، كلية العلوم للبنات، جامعة بغداد
**قسم الفيزياء، كلية التربية (ابن الهيثم) للعلوم، جامعة بغداد

البريد الالكتروني: tharalmemar@yahoo.com

استلام البحث 2015 /6/20

قبول النشر 2015 /9/29

This work is licensed under a [Creative Commons Attribution-NonCommercial-NoDerivatives 4.0 International License](https://creativecommons.org/licenses/by-nc-nd/4.0/)

الخلاصة:

تم اشتقاق علاقة التفريق لموجات الايون الصوتية الكمية في النمط الخطي وفقا لنهج يستعمل فيه نموذج المائع الكمي بالاعتماد على الوصف الحركي لأنظمة الجسيمات المشحونة. ناقشنا علاقة التفريق بتغيير معالمها ورسمت بيانيا. وجدنا من خلال احد الرسوم البيانية ان هناك اتفاقا تاما مع رسم الدراسات السابقة المتعلقة بموضوع الدراسة. وذلك حفزنا على مناقشة اعتماد علاقة التفريق على المعلمات الاساسية الاصلية التي تدخل ضمنا بالعلاقة والتي تغير من هذه العلاقة بشكل أو بآخر مثل درجة حرارة غاز الكترولونات فيرمي والكثافة العددية في حالة التوازن.

الكلمات المفتاحية: علاقة التفريق لموجات البلازما – موجات الايون الصوتية – البلازما الكمية

المقدمة:

الكمي للبلازما واستعماله لدراسة اشباه الموصلات. في هذا الانموذج توصف عملية النقل للشحنة والزخم والطاقة في نظام من الجسيمات المشحونة المتفاعلة من خلال الجهد الكهروستاتيكي المتسق ذاتيا (self-consistent). رياضيا الانموذج الهيدروديناميكي الكمي للبلازما ماهو الا تعميم لانموذج المائع في البلازما التقليدية ولكن يضاف اليه بعض التصحيحات الكمية [2]. في البلازما التقليدية المتكونة من مائع الاكترونات ومائع الايونات تكون كتلة الاكترون اخف كثيراً من كتلة الايون ومن ثم فان نسبة كتلة الاكترون الى الايون تساوي صفرأ تقريباً. هذا التقريب يؤدي الى نشوء موجة الايون الصوتية التي تعتمد علاقة التفريق لها على درجة حرارة غاز الاكترونات والايونات وكتلة الايون ومعادلة الحالة للايونات [3].

في هذا البحث افترضنا ان البلازما تتكون من الكترولونات وايونات وتمت المعالجة في بعد واحد، وقد اخذ بالحسبان الكمية فيها. وتم التركيز على الخصائص الخطية فقط لعلاقة التفريق الناتجة باستعمال الانموذج الهيدروديناميكي الكمي. وتم اهمال تأثير الضغط للايونات الثقيلة وأخذ مائع الاكترونات متضمنا درجة حرارة غاز فيرمي. هذا الانموذج العياني يصف سلوك الكميات مثل الكثافة

تفهم البلازما عموماً على انها نظام لعديد من الجسيمات المشحونة، التي تسلك سلوكاً جماعياً بتأثير القوة الكهرومغناطيسية وضعت كلمة "الجماعية" للظواهر المحددة بكل تجمع للجسيمات في النظام. على سبيل المثال ، تكون حركة الموجة في البلازما ذات طابع جماعي. والاتساق-الذاتي (self-consistent) للمجال الكهرومغناطيسي في البلازما هو أيضاً نتيجة للصفات الجماعية للنظام ، وهلم جرا. وبطريقة معاكسة، يكون سلوك الغازات المتعادلة أكثر تأثراً بالتفاعلات قصيرة المدى، أو التصادمات [1]. اهتم الباحثون بنماذج النقل الكمية اهتماماً كبيراً في العقد الماضي بسبب اهميتها المتعلقة في وصف التأثير الكمي في البلازما وفي الاكترونات الدقيقة. تتضمن بعض تطبيقات بلازما الكم كلاً من صدى البلازما (plasma echo) وعدم الاستقرار الكمية لها وديناميكيات الاتساق – الذاتي لغازات فيرمي وغيرها. ففي الاكترونات الدقيقة تجعل عمليات التصغير الجارية من نماذج النقل الكلاسيكية غير قادرة على التقاط الفيزياء الرئيسة كما في الصمام الثنائي الرنان والاجهزة المتكامله الفائقة. وهذا يحفز على تطوير واستعمال نماذج النقل الكمية لانظمة الجسيمات المشحونة. لقد ركز في العقد الماضي على استعمال الانموذج الهيدروديناميكي

$$n = n_0 N, X = \frac{\omega_{pi} x}{c_s}, T = \omega_{pi} t,$$

$$U = \frac{u}{c_s}, \Phi = \frac{e\phi}{2KT_{Fe}} \dots (8)$$

حيث ان

$$c_s = \left(\frac{2KT_{Fe}}{m_i} \right)^{1/2}, \omega_{pi} = \left(\frac{4\pi n_{i0} e^2}{m_i} \right)^{1/2} \dots (9)$$

حيث تمثل c_s السرعة الكمية للموجات الصوتية للايونات، و ω_{pi} تمثل تردد ايونات البلازما. كذلك يمكننا ادخال معلمة كمية غير بعدية التي تعطى بالعلاقة [7,6,4]

$$H_e = \frac{\hbar \omega_{pe}}{2KT_{Fe}} \dots (10)$$

اذ تعطى $\omega_{pe} = (4\pi n_0 e^2 / m_e)^{1/2}$ وتمثل تردد الكترولونات البلازما. فيزيائياً تعرف H_e على انها النسبة ما بين طاقة البلازما للالكترولونات الى طاقة غاز فيرمي للالكترولونات. باستعمال المتغيرات السابقة يمكننا كتابة نظام المعادلات كما يأتي [2]:

$$\frac{\partial N_i}{\partial T} + \frac{\partial}{\partial X} (N_e U_e) = 0 \dots (11)$$

$$\frac{m_e}{m_i} \left(\frac{\partial U_e}{\partial T} + U_e \frac{\partial U_e}{\partial X} \right) = \frac{\partial \Phi}{\partial X} - N_e \frac{\partial}{\partial X} (N_e) +$$

$$\frac{H_e^2}{2} \frac{\partial}{\partial X} \left(\frac{\partial^2 \sqrt{N_e}}{\partial X^2} \right) \dots (12)$$

$$\frac{\partial N_i}{\partial T} + \frac{\partial}{\partial X} (N_i U_i) = 0 \dots (13)$$

لكون القصور الذاتي للالكترولونات يجبر مائع الكترولونات للحفاظ على حالة التوازن، يمكننا اهمال الطرف الايسر من المعادلة (12) بسبب النسبة الصغيرة $m_e/m_i \ll 1$ لذلك تكون المعادلة (12) [2]

$$\frac{\partial U_i}{\partial T} + U_i \frac{\partial U_i}{\partial X} = - \frac{\partial \Phi}{\partial X} \dots (14)$$

$$\frac{\partial^2 \Phi}{\partial X^2} = N_e - N_i \dots (15)$$

وإذا ما وضعت الشروط الحدودية بحيث ان $N_e = 1, \Phi = 0$ في المانهاية عند اهمال الطرف الايسر من المعادلة (12) لكون ان $m_e/m_i \ll 1$ واجراء التكامل كما يأتي

$$\int \frac{\partial \Phi}{\partial X} dX = \int N_e \frac{\partial N_e}{\partial X} dX$$

$$- \frac{H_e^2}{2} \int \frac{\partial}{\partial X} \left(\frac{\partial^2 \sqrt{N_e}}{\partial X^2} \right) dX$$

$$\Phi = \frac{N_e^2}{2} - \frac{H_e^2}{2} \frac{1}{\sqrt{N_e}} \frac{\partial^2 \sqrt{N_e}}{\partial X^2} + C$$

$$0 = \frac{1}{2} + C$$

$$\Phi = -\frac{1}{2} + \frac{N_e^2}{2} - \frac{H_e^2}{2\sqrt{N_e}} \frac{\partial^2 \sqrt{N_e}}{\partial X^2} \dots (16)$$

العديد لكل نوع وغيرها. اما الانموذج المجهري فيأخذ بعين الاهمية زوجاً من معادلات وينكر الكمية لكل من الالكترولونات والايونات مترافقة مع معادلة بوازون. ومن الجدير بالذكر ان معادلات وينكر مماثلة لمعادلة فلاسوف في البلازما التقليدية التي تصف البلازما قليلة - التصادم.

النظرية:

على فرض ان البلازما مكونة الالكترولونات والايونات. لذلك يمكننا كتابة معادلة الاستمرارية والحركة لهما في بعد واحد فضلاً عن معادلة بوازون كما يأتي:

$$\frac{\partial n_e}{\partial t} + \frac{\partial}{\partial x} (n_e u_e) = 0 \dots (1)$$

$$\frac{\partial n_i}{\partial t} + \frac{\partial}{\partial x} (n_i u_i) = 0 \dots (2)$$

$$\frac{\partial u_e}{\partial t} + u_e \frac{\partial u_e}{\partial x} = \frac{e}{m_e} \frac{\partial \phi}{\partial x} - \frac{1}{m_e n_e} \frac{\partial P_e}{\partial x} +$$

$$\frac{\hbar^2}{2m_e^2} \frac{\partial}{\partial x} \left(\frac{1}{\sqrt{n_e}} \frac{\partial^2 \sqrt{n_e}}{\partial x^2} \right) \dots (3)$$

$$\frac{\partial u_i}{\partial t} + u_i \frac{\partial u_i}{\partial x} =$$

$$- \frac{e}{m_i} \frac{\partial \phi}{\partial x} + \frac{\hbar^2}{2m_i^2} \frac{\partial}{\partial x} \left(\frac{1}{\sqrt{n_i}} \frac{\partial^2 \sqrt{n_i}}{\partial x^2} \right) \dots (4)$$

$$\frac{\partial^2 \phi}{\partial x^2} = 4 \pi e (n_e - n_i) \dots (5)$$

اذ ان $n_e, v_e, m_e, -e$ (وتقابلها بالنسبة للايون n_i, v_i, m_i, e على التوالي هي شحنة الكترولون (الايون)، كتلة الكترولون (الايون)، سرعة الكترولونات (الايون)، والكثافة العددية للالكترولونات (الايونات). بينما ϕ هي الجهد الكهروستاتيكي و P_e هي ضغط غاز الالكترولونات و \hbar هي ثابت بلانك مقسوماً على 2π . ان ضغط غاز الالكترولونات يخضع لغاز فيرمي الذي درجة حرارته صفر، اذ يعطى الضغط بالعلاقة الآتية [4]:

$$P_e = \frac{m_e v_{Fe}^2}{3 n_{e0}^2} n_e^3 \dots (6)$$

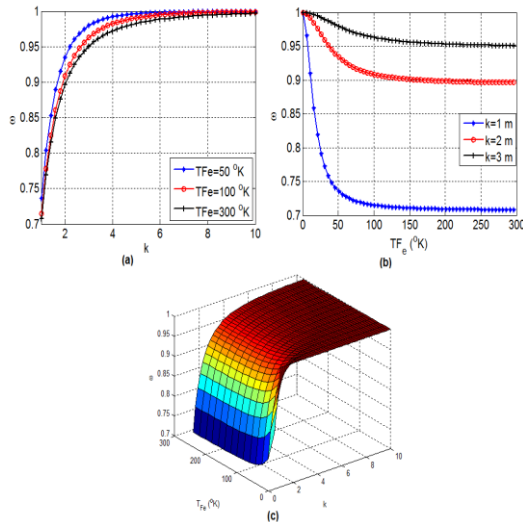
اذ ان n_{e0} هي الكثافة العددية عند حالة التوازن للالكترولونات وان v_{Fe} هي سرعة غاز فيرمي الالكترونية التي ترتبط مع درجة حرارة غاز فيرمي بالعلاقة

$$v_{Fe} = (2KT_{Fe}/m_e)^{1/2} \dots (7)$$

اذ ان K ثابت بولتزمان. ان المعادلتين الاخيرتين تتضمنان تأثيرين كميين؛ هما الاحصاء و الحيويد الكميان (quantum statistics and quantum diffraction). والحيويد الكمي يتناسب مع \hbar^2 بينما الاحصاء الكمي يتضمن ميزة فيرمي للالكترولونات (fermionic character of the electrons).

يمكننا اجراء معايرة نظام المعادلات السابقة بواسطة ادخال المتغيرات الآتية [5]

مختلفة من H . تشترك كل قيم المعلمة H عند القيم الصغيرة العدد الموجي يكون بالخط المستقيم نفسها ولكنها تشرع بالافتراق كلما زاد العدد الموجي ، اذ يستمر الخط المستقيم للقيم العالية من H في زيادة خطية قبل ان يميل اسيا عند اقصى قيمة للتردد المعايير العليا. ان كل قيم المعلمة H تتلاقى مرة اخرى عند اقصى قيمة من التردد المعايير عند زيادة العدد الموجي. من الممكن ملاحظة ان القيمة المقاربة تكون عندما $\omega = 1$ وتصل بصورة اسرع عندما تكون هناك تأثيرات للحيود الكمي. ان الرسم البياني (1a) يتطابق كلياً مع الشكل (1) في المصدر [2] وان استعملت قيم H مختلفة. أما الشكل (1b) فانه يوضح تأثير زيادة المعلمة H في التردد المعايير لقيم مختارة من العدد الموجي. من الواضح ان القيم الصغيرة من H تعطي منحني يكون فيه قيم التردد المعايير اقل من تلك للقيم الاعلى من H . والشكل (1c) رسم ثلاثي يوضح كيف تتغير علاقة التفريق بوجود المعلمة H . فكلما زادت قيم العدد الموجي k عند القيم الصغيرة منها تزداد ω خطياً ثم لا تلبث ان تكون الزيادة اسية ومن ثم خطية موازية لمحور العدد الموجي عند اعلى قيمة للتردد المعايير. لذلك نجد ان الانموذج الهيدرواينميكي الكمي لا يصلح عند القيم العالية من العدد الموجي. وتأثير زيادة المعلمة H في علاقة التفريق هو ازاحة علاقة التفريق لتكون الخطية عند قيم اكبر من العدد الموجي. وتصل الى القيمة الاقصى من التردد لتكن المعايير عند قيم صغيرة من العدد الموجي.



شكل (2): (a) يوضح علاقة التفريق لقيم مختلفة من درجة حرارة غاز الكترولونات فيرمي. (b) يبين تأثير زيادة درجة حرارة غاز الكترولونات فيرمي في التردد لقيم مختلفة من العدد الموجي. (c) رسم ثلاثي يوضح تأثير تغير كل من درجة حرارة غاز الكترولونات فيرمي والعدد الموجي في التردد.

اذا ما أعدنا تقديم المتغيرات الفيزيائية الأصلية الداخلة في علاقة التفريق، فإن الموجة تنتشر بسرعة

لذلك توفر المعادلات (13-16) الانموذج المختزل من اربع معادلات فيها اربع كميات مجهولة هي N_e ، U_i ، N_i ، Φ ، ان الحل الرياضي لهذه المعادلات يعطي موجات خطية حول حالة توازن متجانسة بأجراء العملية الخطية على هذه المعادلات كما هو مألوف ، بحيث تفصل المتغيرات التابعة الى قسمين احدهما هو جزء التوازن (0) والاخر مضطرب (1) كميأتي:

$$n = n_0 + n_1 , \quad \mathbf{v} = \mathbf{v}_0 + \mathbf{v}_1 ,$$

$$\mathbf{E} = \mathbf{E}_0 + \mathbf{E}_1$$

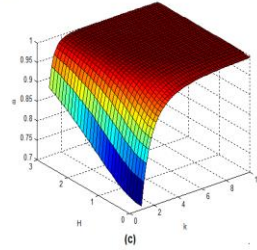
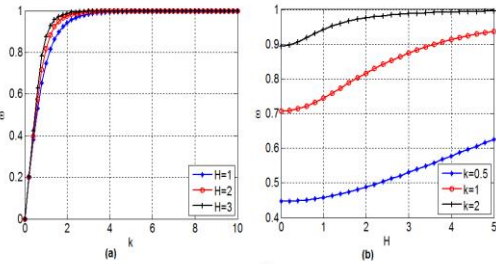
واجراء تحويل فورييه على الكميات المتذبذبة التي تقترض غالباً على شكل جيب - جيب تمام $n_1 =$

$$n_1 e^{i(kx - \omega t)} \quad \mathbf{v}_1 = v_1 e^{i(kx - \omega t)} \hat{x} \quad \mathbf{E}_1 = E_1 e^{i(kx - \omega t)} \hat{x}$$

ان حل مجموعة المعادلات الخطية الناتجة يعطي علاقة التفريق لموجات الايون الصوتية الكمية الخطية [2]

$$\omega = \sqrt{\frac{k^2(1+H^2k^2/4)}{1+k^2(1+H^2k^2/4)}} \quad \dots \quad (17)$$

المناقشة:



شكل (1): (a) يوضح علاقة التفريق لقيم مختلفة من المعلمة الكمية H . (b) يبين تأثير زيادة المعلمة الكمية H في التردد المعايير. (c) رسم ثلاثي يوضح التأثيرين في كل من (a) و (b).

تصف المعادلة (17) النظير الكمي لنمط موجة الايون الصوتية الكلاسيكية بوجود حد جديد مضاف هو السرعة الصوتية الكمية و حد تصحيح لتأثيرات الحيود الكمية. وتبعاً لذلك نسمي هذا الحل بنمط الايون الصوتي الكمي. ومثلما هي الحالة لموجات الايون الصوتية في البلازما الكلاسيكية فإن هذا النمط يوضح تذبذبات كل من الايونات والالكترونات عند الترددات المنخفضة. في الجانب الأخر، القيم العالية من العدد الموجي، تعطي علاقة التفريق تذبذبات الموجة عند تردد ايون البلازما. يبين الشكل (1a) علاقة التفريق المعايير لنمط موجة الايون الكمية لقيم

الشكل (3a) يوضح علاقة التفريق لقيم متعددة من الكثافة العددية عند حالة التوازن. يلاحظ ان التصرف هو التصرف السابق نفسه فيما عدا ان زيادة الكثافة العددية تؤدي الى ازاحة التردد الى القيم العليا اذ القيمة المقاربة في الشكل (3b) رسم التردد الزاوي كدالة للكثافة العددية في حالة التوازن ولقيم متعددة من العدد الموجي. ان القيم العالية من الكثافة العددية تؤدي الى قيم عالية من التردد الزاوي ، وبشكل عام لا تبدو العلاقة بين الكثافة العددية والتردد على انها خطية في القيم الاعلى للكثافة العددية. في الشكل (3c) رسم ثلاثي لعلاقة التردد مع كل من العدد الموجي والكثافة العددية المتغيرين.

الاستنتاجات:

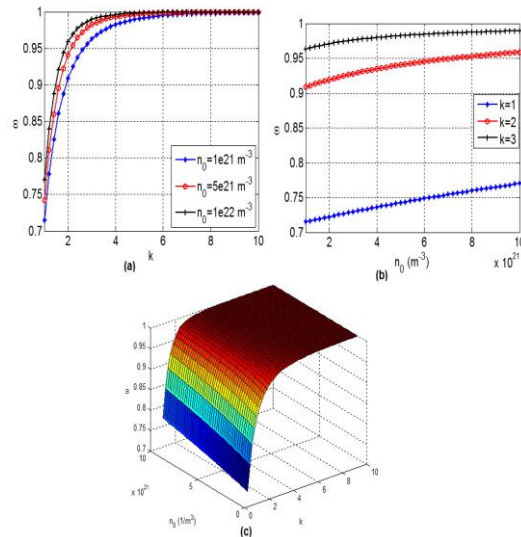
تم التحقق من علاقة التفريق لموجات الايون الصوتية الكمية بتغيير المعلمة الكمية H في منحنيات علاقة التفريق لقيم مختلفة من H نجدها تشترك في المنحنى نفسه لقيم صغيرة من k ولكنها تفتقر بزيادة العدد الموجي متزايدة بشكل اسي وتصل لخط مستقيم جميعا عند اعلى قيمة لـ ω نتيجة تأثيرات للحيود الكمي . وتعد هذه النتيجة في تطابق تام مع الدراسات السابقة [2]. ان تأثير زيادة المعلمة H في علاقة التفريق هو لازاحة العلاقة لتكون الخطية عند قيم اكبر من k . ولتصل الى القيمة الاقصى من ω عند قيم صغيرة من k . تم التحقق من بعض المتغيرات التي تؤثر في المعلمة الكمية H والتي تغير من صفات الموجة مثل درجة حرارة غاز الكترولونات فيرمي والكثافة العددية في حالة التوازن. ولكون ان المعلمة الكمية H تتناسب عكسيا مع TF_e فان منحنيات دالة التفريق تسلك التصرف السابق نفسه بحيث تصل منحنيات درجات الحرارة لغاز الكترولونات فيرمي الاقل الى قيمة المقاربة عند $\omega = 1$ أولا. وكلما زادت قيمة TF_e تقل قيمة تردد الموجة ومن ثم يستقر التردد عند قيمة ثابتة تعتمد على العدد الموجي لموجة الايون الصوتية في بلازما الكم. ودرست علاقة التفريق لقيم متعددة من الكثافة العددية عند حالة التوازن. لقد وجد ان زيادة الكثافة العددية تؤدي الى ازاحة التردد الى القيم العليا اذ القيمة المقاربة لـ $\omega = 1$. وبشكل عام لا تكون العلاقة بين الكثافة العددية والتردد خطية في القيم الاعلى للكثافة العددية.

المصادر:

- [1] Haas, F.; 2011. Quantum Plasmas: an Hydrodynamic Approach. Springer Science.
 [2] Haas, F.; Garcia, L. G.; Goedert, J.; and Manfredi, G.; 2003. Quantum ion-acoustic waves. Physics of Plasmas, 10 (10): (3858 - 3866).

الايون الصوتية الكمية C_s . تم التحقق من تأثير درجة حرارة غاز فيرمي للكترولونات في علاقة التفريق كما في الشكل (2)، نجد انه ليس هناك تأثير لهذه الدرجة الحرارية عند القيم الكبيرة نسبيا. بينما عند القيم الصغيرة من TF_e فان علاقة التفريق لا تسلك هذا المنحنى ، وانما هناك سلوك اسي.

الشكل (2a) يبين علاقة التفريق لقيم متعددة من درجة حرارة غاز الكترولونات فيرمي. لكون ان المعلمة الكمية H تتناسب عكسيا مع TF_e فان منحنيات دالة التفريق تسلك التصرف نفسه كما في الشكل (1a) ولكن هنا درجات الحرارة لغاز الكترولونات فيرمي الاقل هي من تصل الى قيمة المقاربة عند $\omega = 1$ أولا. من جانب اخر الشكل (2b) يوضح علاقة TF_e مع تردد موجة الايون الصوتية. في درجات الحرارة الواطئة يتناقص التردد من اقصى قيمة له عند $\omega = 1$ معتمدا في ذلك على قيم العدد الموجي للموجة. وكلما زادت قيمة TF_e تقل قيمة تردد الموجة ومن ثم يستقر التردد عند قيمة ثابتة تعتمد على العدد الموجي لموجة الايون الصوتية في بلازما الكم. اما الشكل (2c) فهو رسم ثلاثي تشترك فيه علاقة التفريق مع درجة حرارة غاز الكترولونات فيرمي عند قيمة محددة من الكثافة العددية في حالة التوازن. يلاحظ انشاء عند درجات حرارة الكترولونات فيرمي الواطئة في سطح الرسم الثلاثي ، بينما عند الدرجات الحرارية الاعلى لا يوجد تأثير مباشر في السطح المرسوم كما ذكر سابقا. لذلك يبدو ان التأثيرات الكمية تؤدي دورا واضحا عند درجات الحرارة الواطئة لغاز الكترولونات فيرمي اكثر من منها عند الدرجات الحرارية الاعلى.



شكل (3): (a) يوضح علاقة التفريق لقيم مختلفة من الكثافة العددية. (b) يبين تأثير زيادة الكثافة العددية على التردد لقيم مختلفة من العدد الموجي. (c) رسم ثلاثي يوضح تأثير تغير كل من الكثافة العددية والعدد الموجي في التردد كما في (a) و (b).

- relativistic plasma. *Pramana–J. Phys.*, 76(76): (933–944).
- [6] Taibany, W. F. El.; Wadati, M.; 2007. Nonlinear quantum dust acoustic waves in non-uniform complex quantum dusty plasma. *Physics of Plasmas* 14(14): (042302 – 1- 9).
- [3] Chen, F. F.; 1984. *Introduction to Plasma Physics and Controlled Fusion*. Plenum Press.
- [4] Khan, S. A.; 2009. *Quantum Effects on Low Frequency Waves in Dense Plasmas*. Ph. D. Thesis, COMSATS Institute of Information Technology Islamabad Pakistan, page 58.
- [5] Sahu, B.; 2011. *Quantum ion-acoustic solitary waves in weak*

Investigations about the characteristic behavior of the linear mode of quantum acoustic waves ion

*Rafal H. Jassim**

*Mustafa K. Jassim***

* Department of Physics, College of Science for Women, University of Baghdad.

**Department of Physics, College of Education (Ibn Al-Haitham) for Pure Science, University of Baghdad

Received 20/4/ 2015

Accepted 29/9/ 2015

Abstract:

The dispersion relation of linear quantum ion acoustic waves is derivate according to a fluid approach that depends on the kinetic description of the systems of charged particles model. We discussed the dispersion relation by changing its parameters and graphically represented. We found through graphs that there is full agreement with previous studies on the subject of interest. That motivates us to discuss the dispersion relation of waves depending on the original basic parameters that implicitly involved in the relationship which change the relationship by one way or another, such as electron Fermi temperature and the density at equilibrium state.

Key words: Dispersion of Plasma Waves, Quantum Acoustic Ion Wave, Quantum Plasma